

Angiographie: gold standard?

Méconnaissance de lésions athéromateuses:

« faux négatif angiographique » corrélations angio / anapath

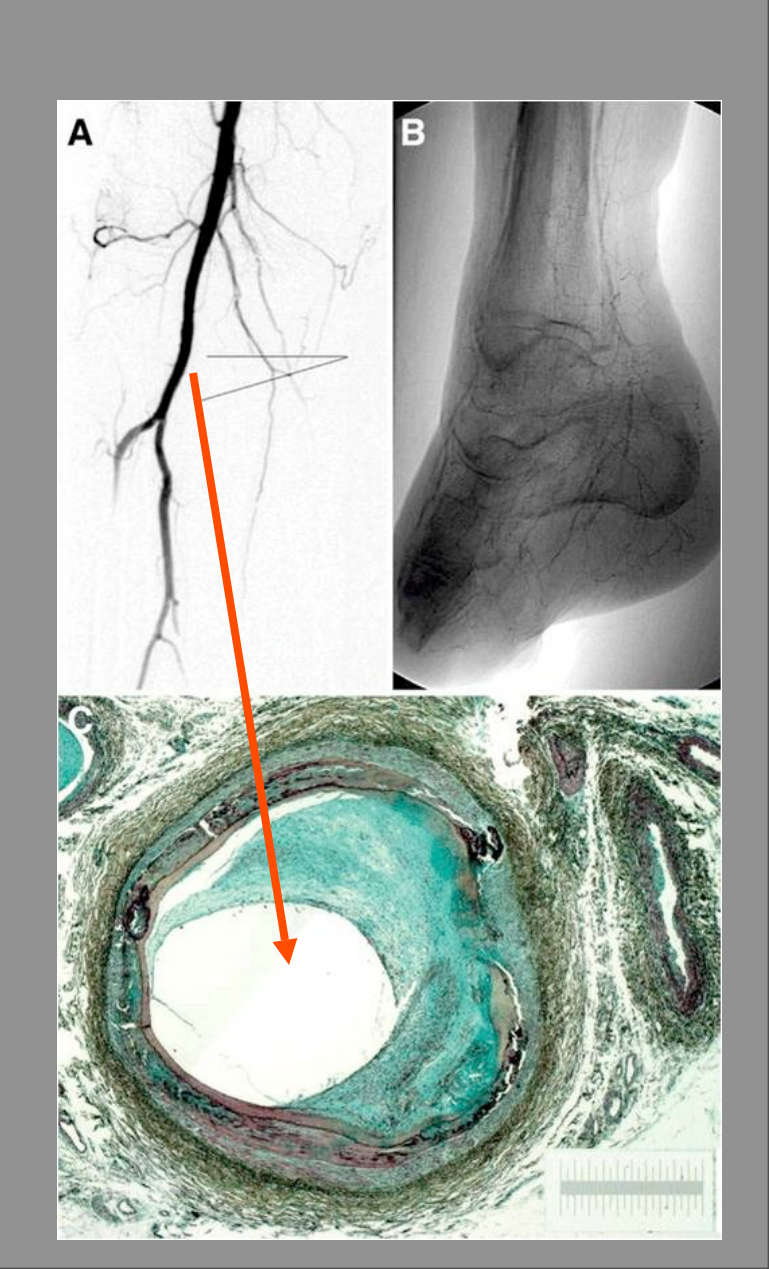
- Coronoraires:
 - corrélation post mortem
 - Vlodaver Circulation 1973

Angiographie: gold standard?

Méconnaissance de lésions athéromateuses:

« faux négatif angiographique » Corrélations angio / anapath

- Coronoraires:
 - corrélation post mortem
 - Vlodaver Circulation 1973
- Vasculaire périphérique :
 - corrélation post amputation
 - Kashyap JET 2008



Angiographie: gold standard?

Méconnaissance de lésions athéromateuses:

Corrélations angio / anapath « faux négatif angiographique »

- Coronoraires:
 - corrélation post mortem
 - Vlodaver Circulation 1973
- Artério MI:
 - corrélation post amputation
 - Kashyap JET 2008

Sous-estimation des lésions

Corrélations angio / IVUS

- Sous-estimation diamètre de référence (1 à 2 mm)
- Sous-estimation de la longueur et de la diffusion de la maladie athéromateuse (ie faux négatif)
- Mauvaise corrélation sur la caractérisation de la plaque
- Corrélation globalement satisfaisante sur le degré de sténose
- Peu de donnés en vasculaire périphérique

Arthurs et coll. JVS 2010, 51(4) 933-9



Evaluation of Peripheral Atherosclerosis: A Comparative Analysis of Angiography and Intravascular Ultrasound

Zachary M. Arthurs, MD, Paul D. Bishop, MSEE, Lindsay E. Feiten, BS, Matthew J. Eagleton, MD, Daniel G. Clair, MD, and Vikram S. Kashyap, MD

J Vasc Surg. 2010 April; 51(4): 933–939.

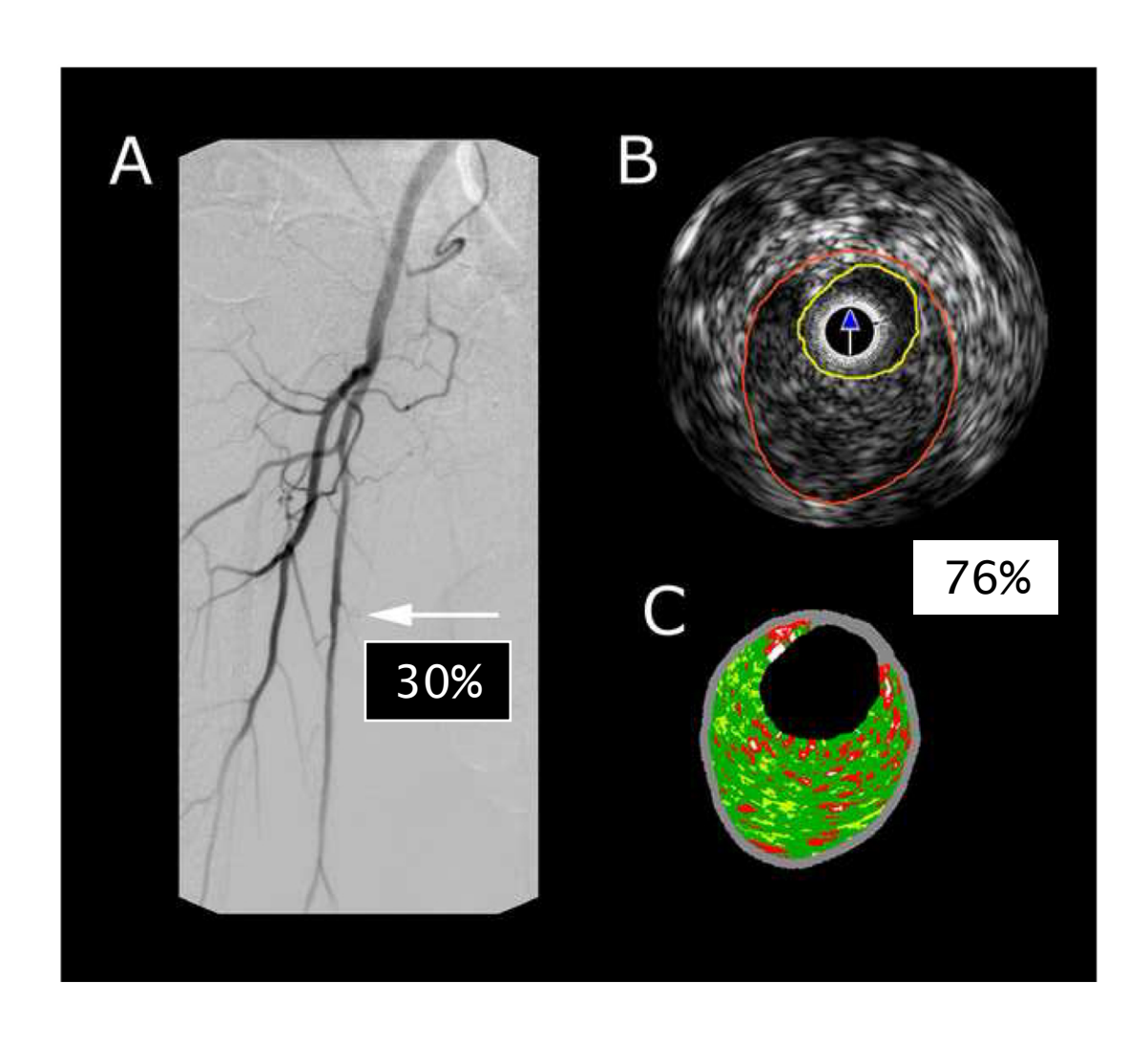
Angiographic	IVUS	P ª	$\mathbf{r}^{\underline{\mathbf{b}}}$
Analysis	Analysis		
5.5(±0.7)	Lumen 5.3(±0.9)	0.45	0.95
	diameter		
	Outer wall 7.0(±0.7)	< 0.05	0.28
	diameter		
5.2(±0.8)	Lumen 5.2(±0.9) diameter	0.642	0.94
	Outer wall 7.0(±0.7) diameter	<0.05	0.31
46(±27)		0.61	0.84
	method		
	Area method (55(±22)	< 0.05	0.46
	Analysis 5.5(±0.7) 5.2(±0.8)	Analysis 5.5(±0.7) Lumen 5.3(±0.9) diameter Outer wall 7.0(±0.7) diameter 5.2(±0.8) Lumen 5.2(±0.9) diameter Outer wall 7.0(±0.7) diameter Outer wall 7.0(±0.7) diameter Under wall 7.0(±0.7) diameter Diameter 49(±25) method	Analysis Analysis 5.5(±0.7)

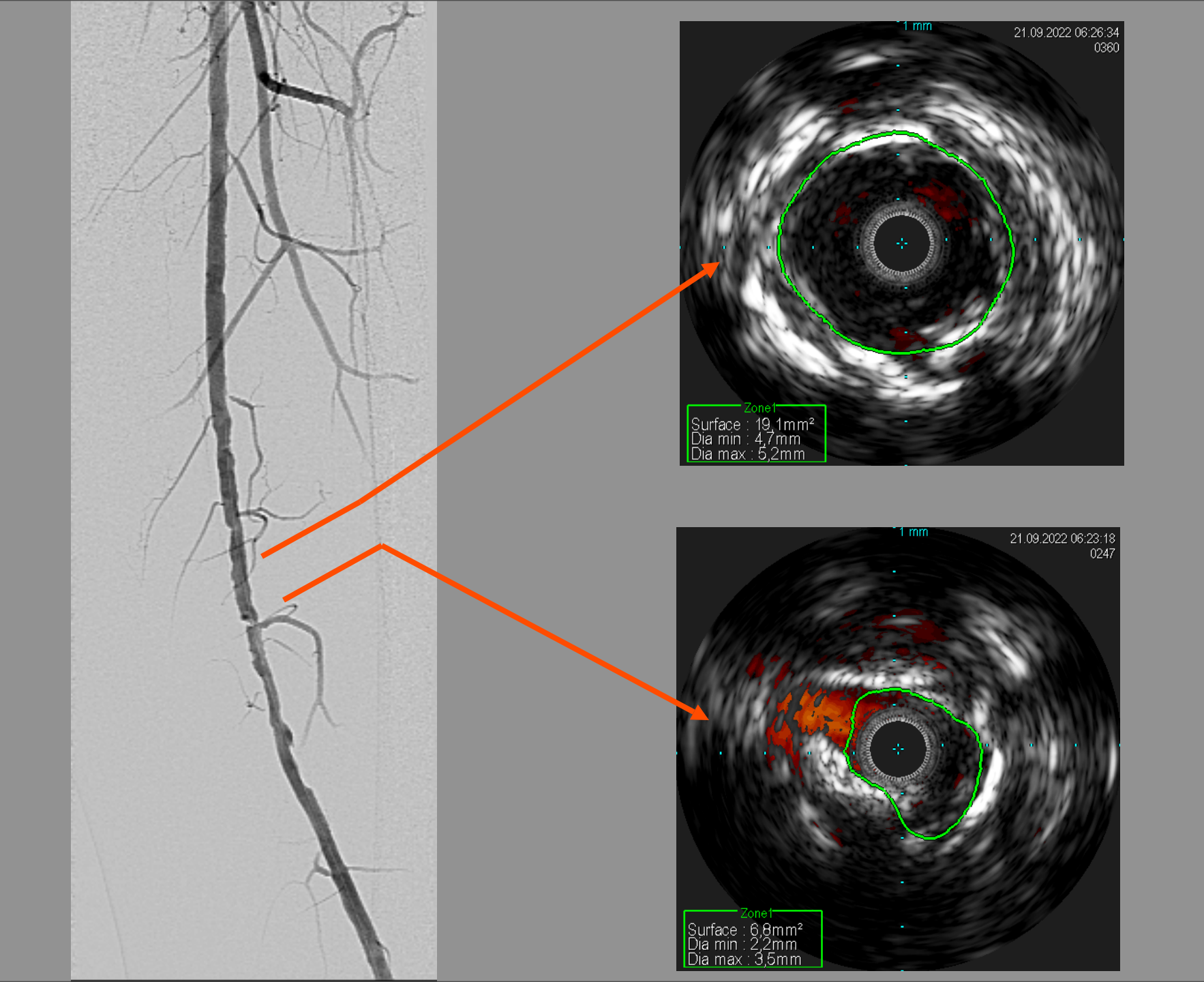


Evaluation of Peripheral Atherosclerosis: A Comparative Analysis of Angiography and Intravascular Ultrasound

Zachary M. Arthurs, MD, Paul D. Bishop, MSEE, Lindsay E. Feiten, BS, Matthew J. Eagleton, MD, Daniel G. Clair, MD, and Vikram S. Kashyap, MD

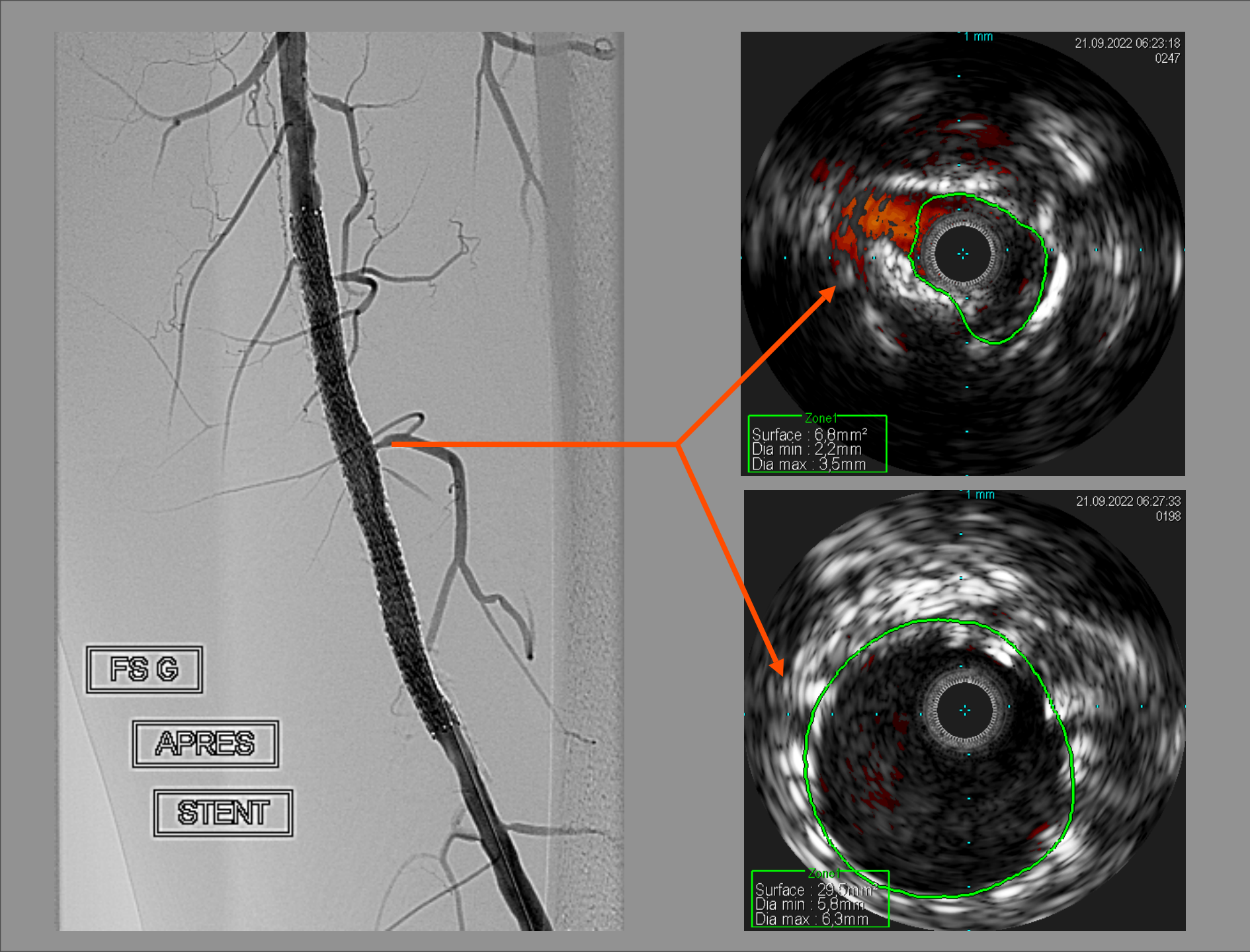
J Vasc Surg. 2010 April; 51(4): 933-939.







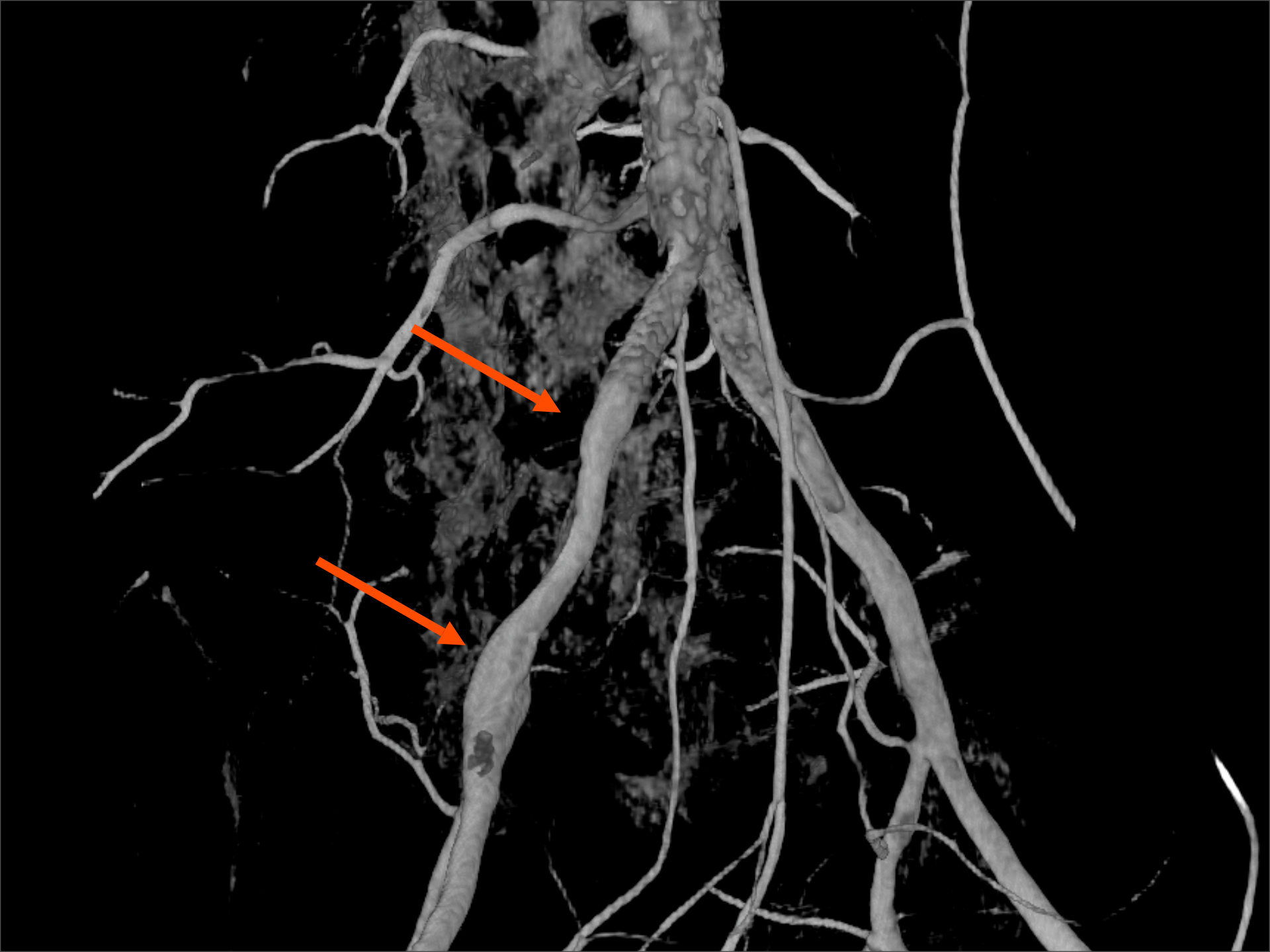




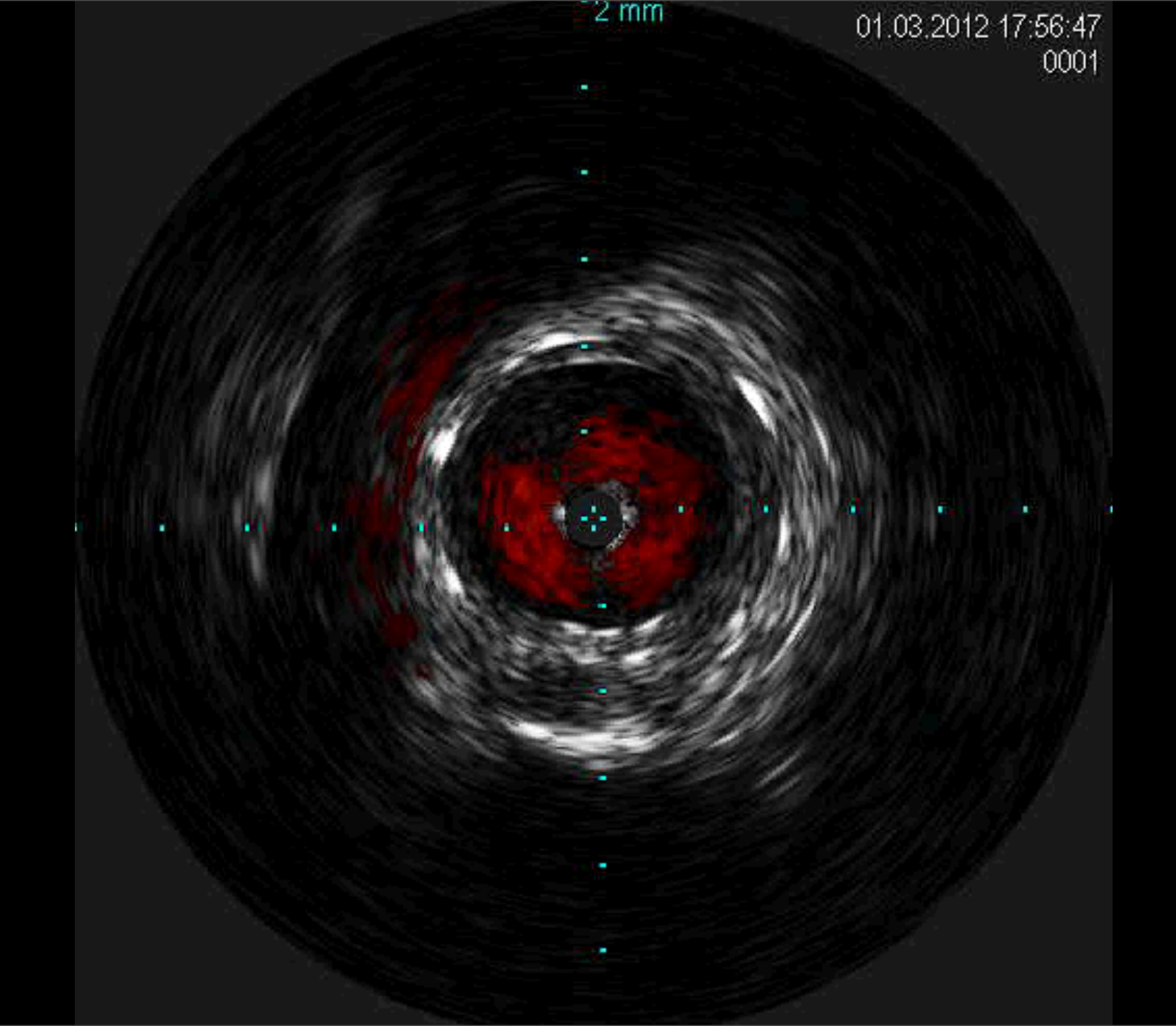
Cas clinique n°1: Mme GRA. 64 ans

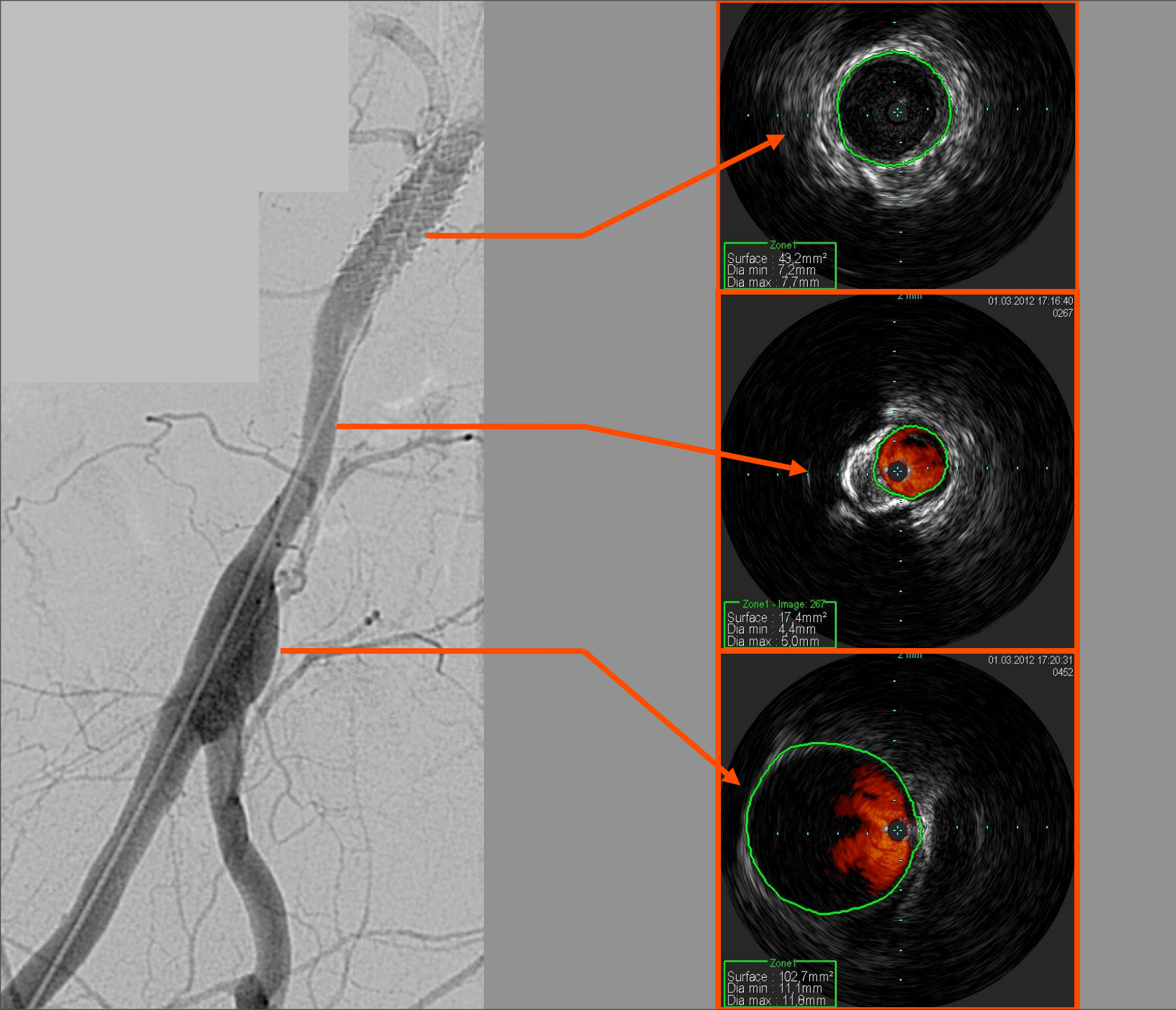
- 2007 : réfection carrefour aortique avec 2 stents en kissing pour claudication bilatérale
- Intervalle libre 4 ans puis claudication récurrente MI+ fesse droite, décrite comme identique /2007
 - Doppler: pas de resténose donc claudication probablement neurologique
 - Scanner rachidien normal
 - Scanner AMI : stents en place sans resténose et infiltration non significative en aval du stent IPD
- Revue à rhône-Durance.
 - Doppler : pas de sténose ... mais chute de 4 points de l'IPS pour une épreuve à minima
 - Artério proposée













Mr X 71 ans Tabagique sevré CM ischémique **FEVG 22%**

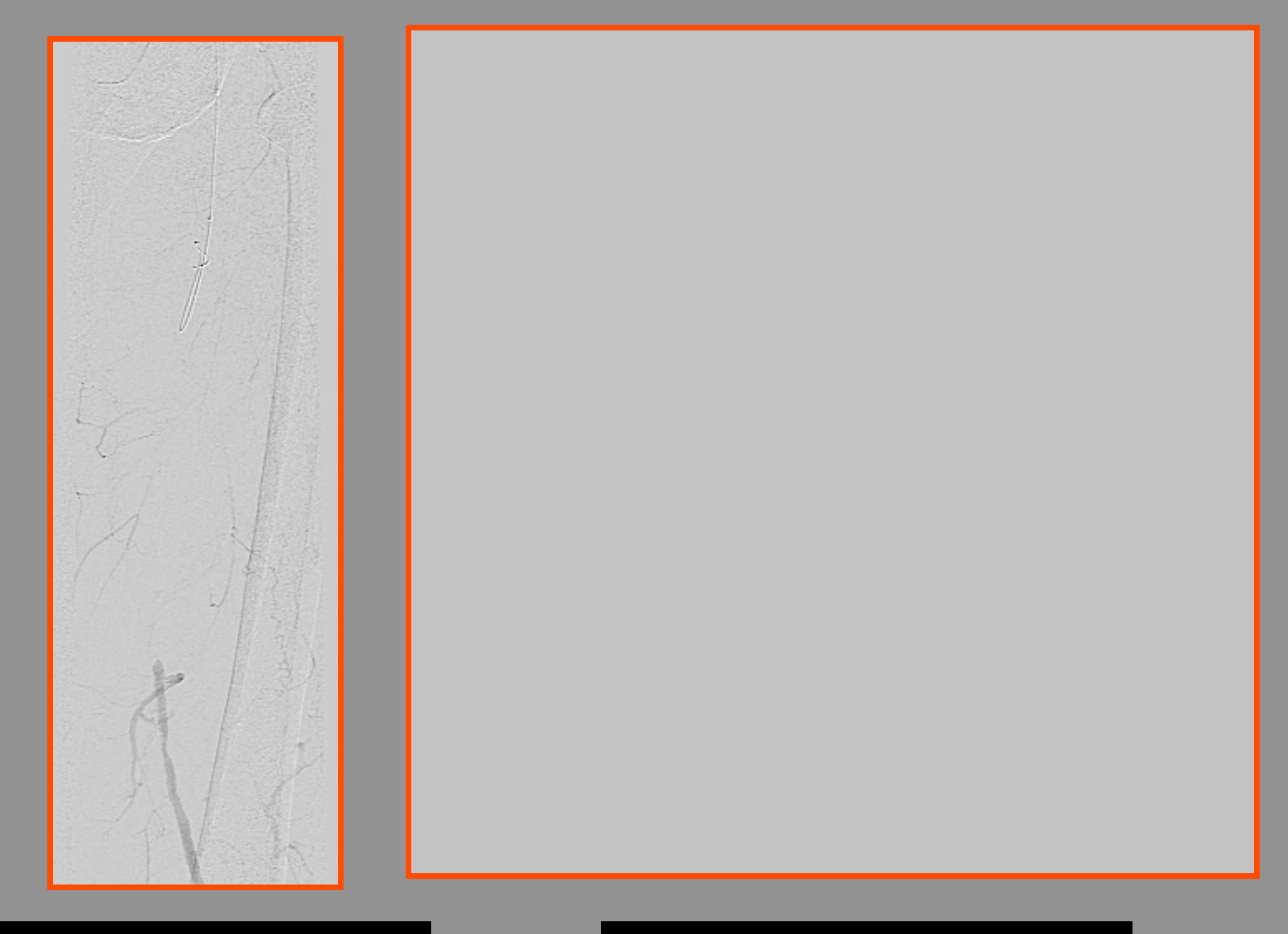
DAI CRT-D

Claudication II fort MIG

Angio: oblitération longue SFA



Recanalisation sous-intimale



Recanalisation sous-intimale

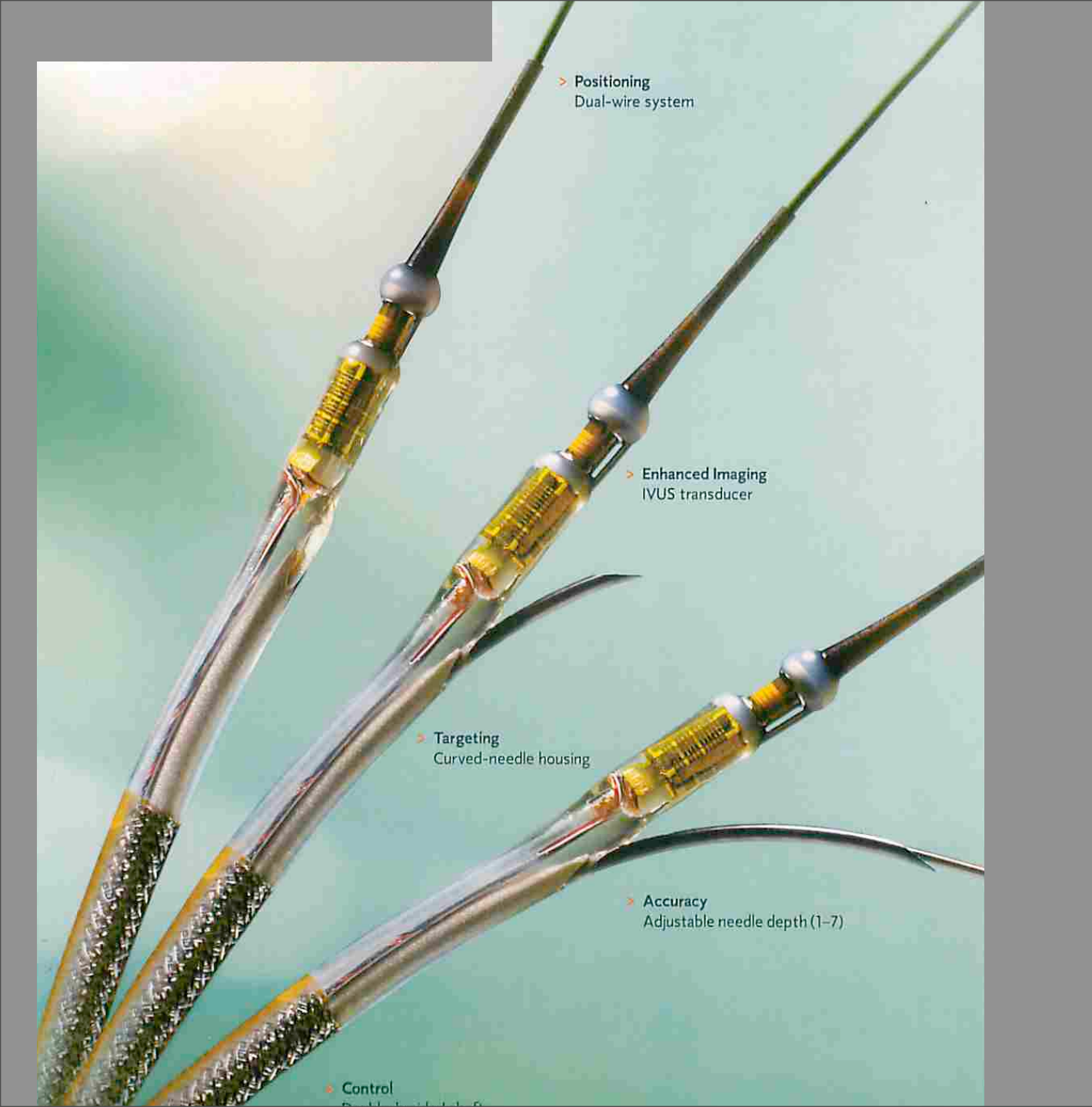
Echec de re-entrée en vraie lumière

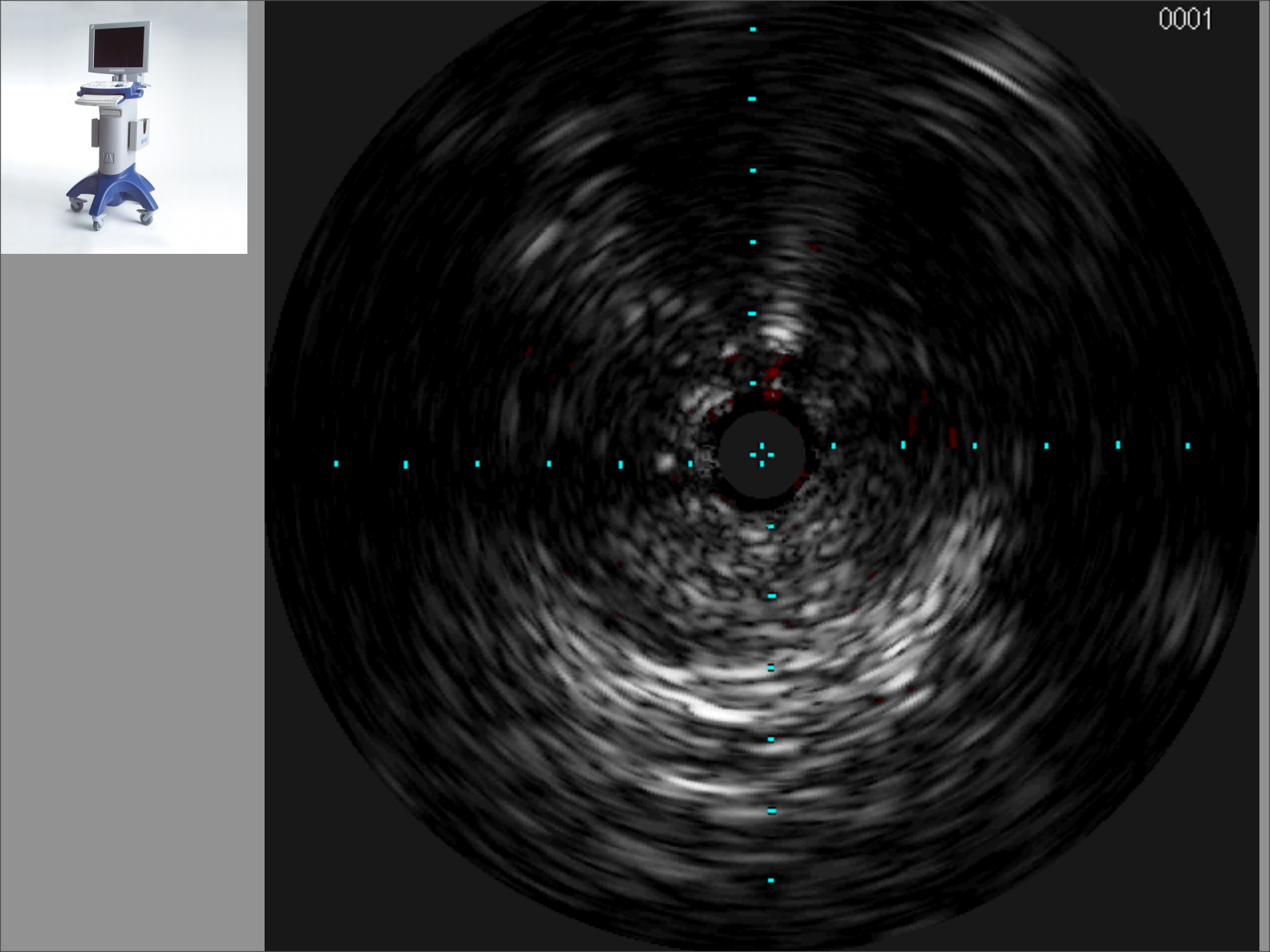
Système de ré-entrée

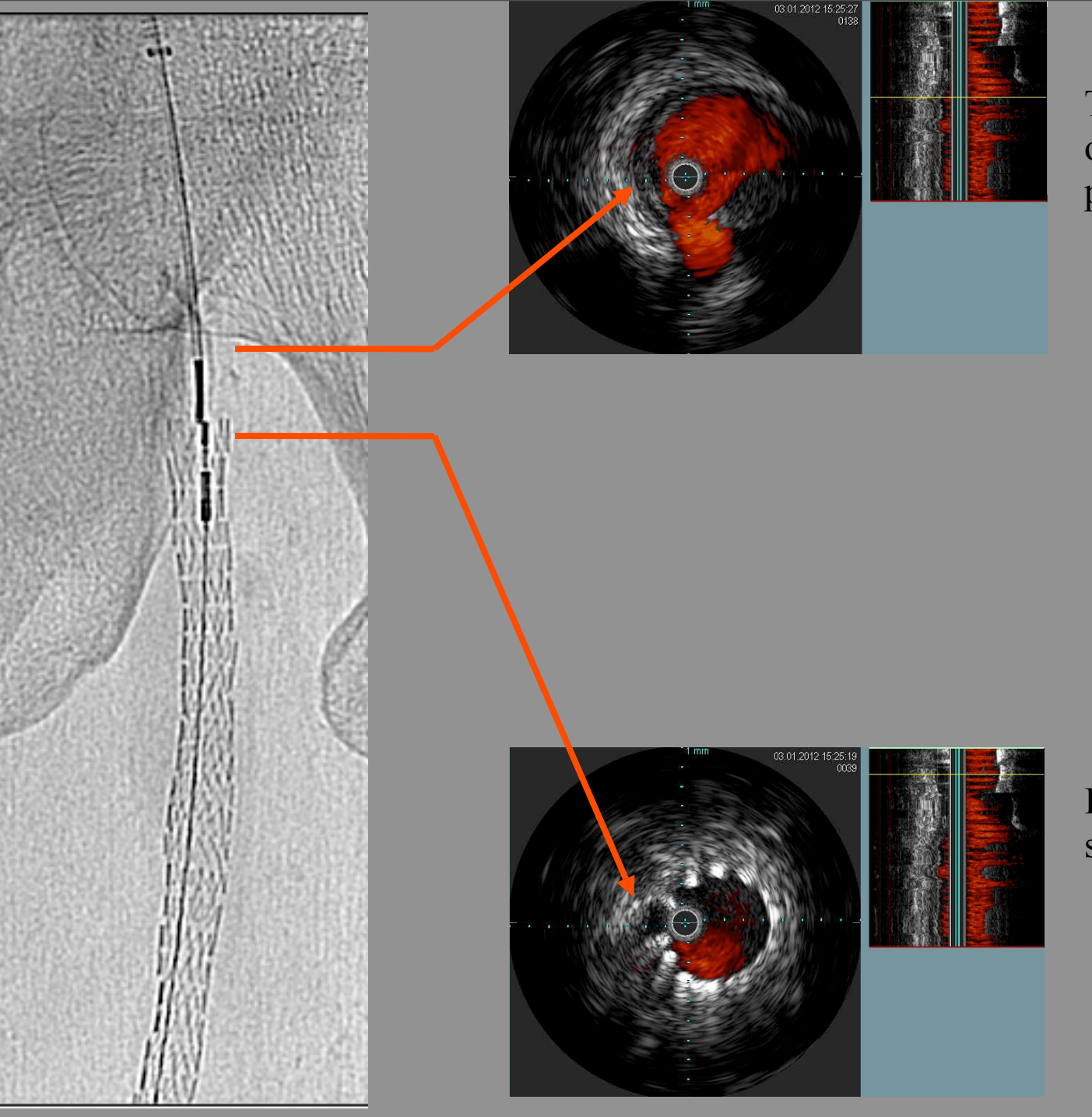
Pionneer (+)

Cathéter de ponction intimale échoguidé

6Fr compatible sur guide 0.014

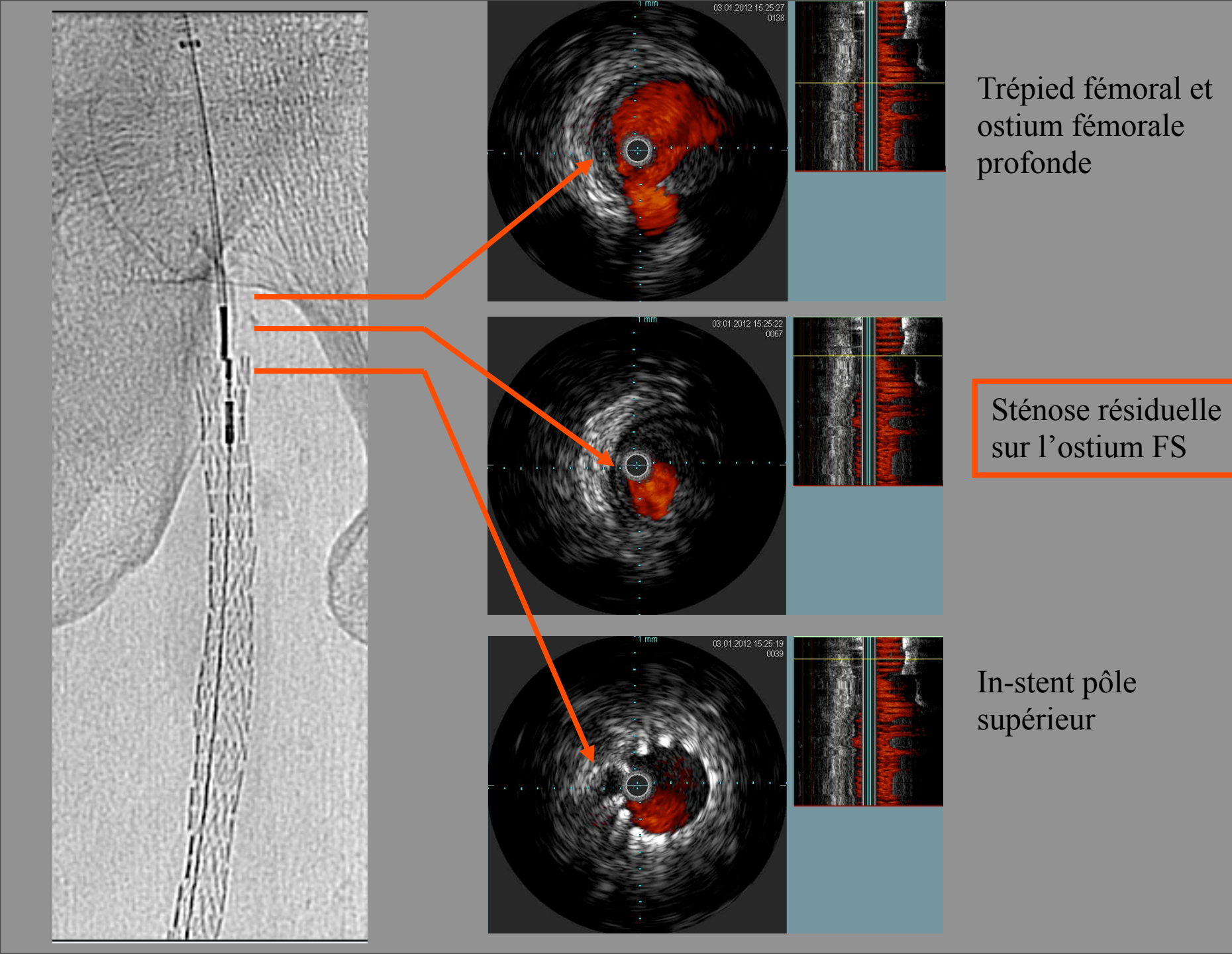






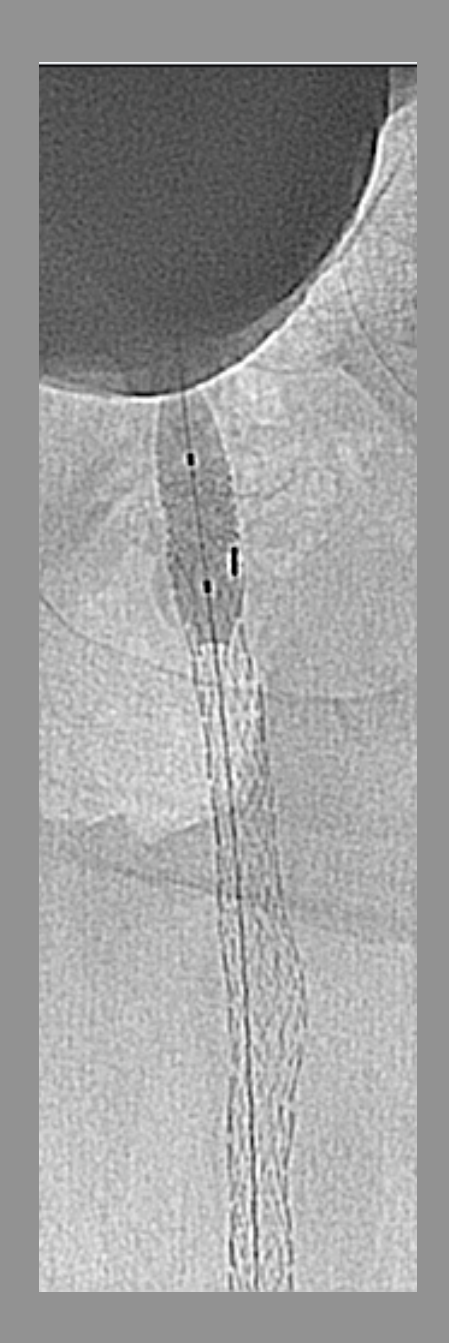
Trépied fémoral et ostium fémorale profonde

In-stent pôle supérieur



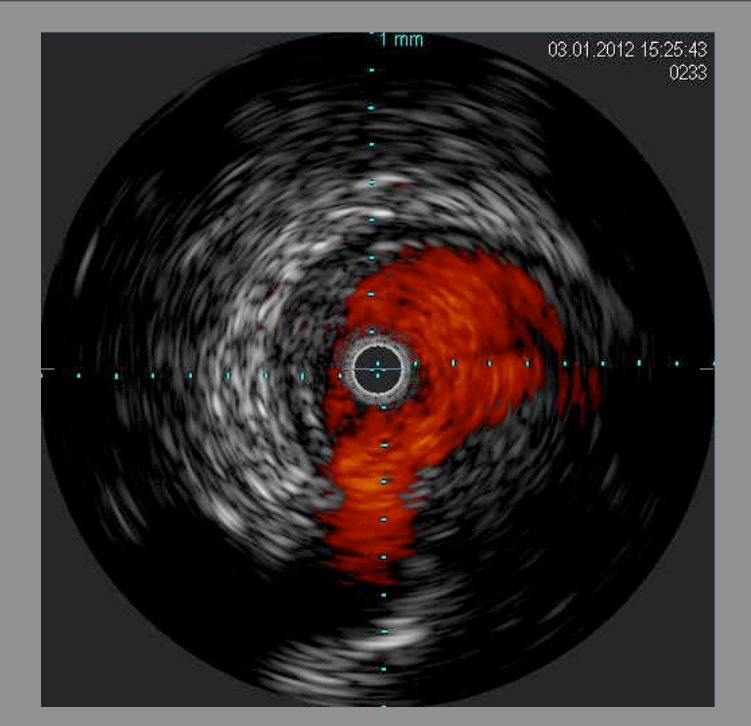


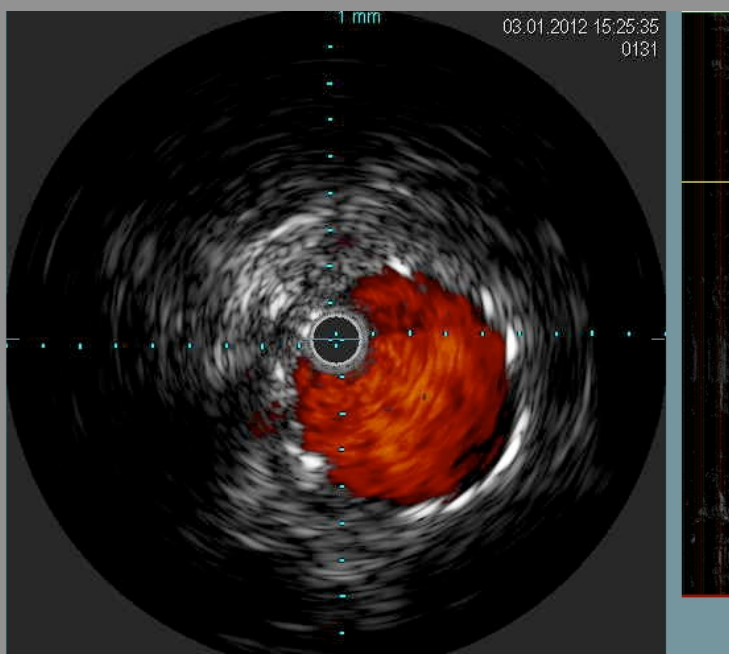
OAG caudale 50°/25°

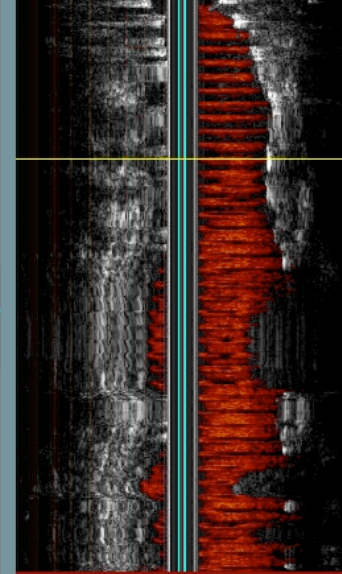












Mr X 67 ans

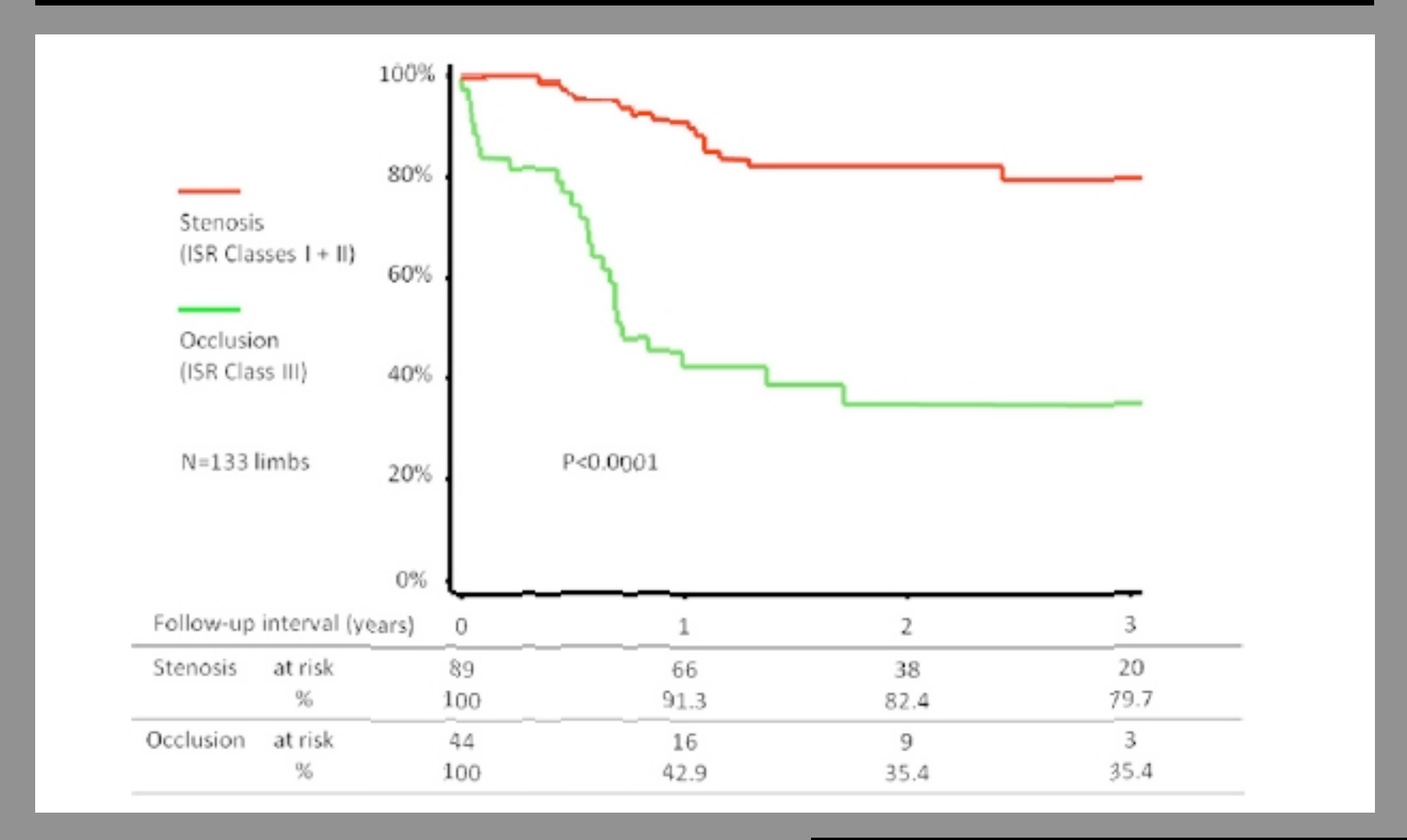
Diabétique

2010 recanalisation SFA + stent

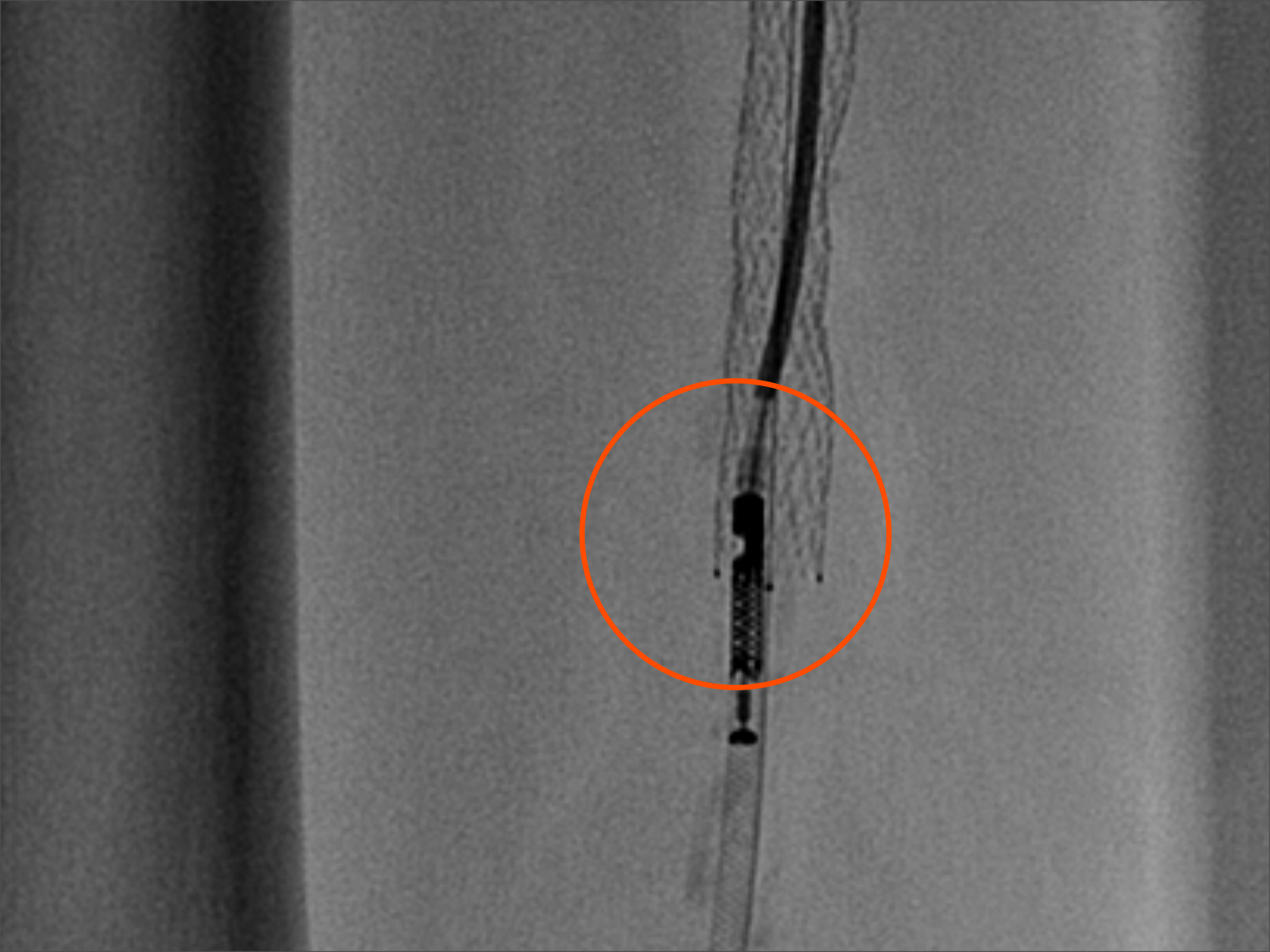
Claudication II fort MID récurrente

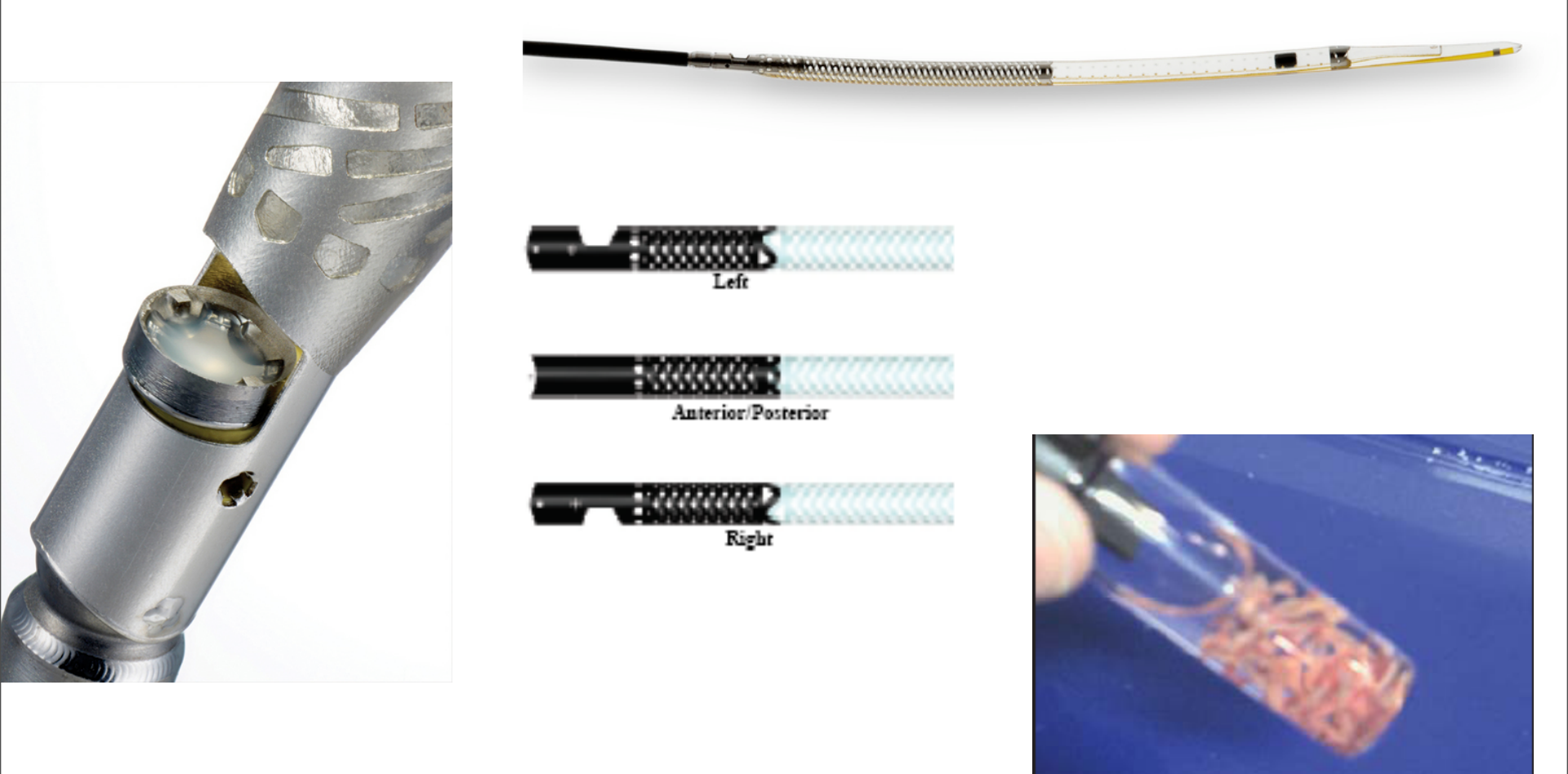
Angio: resténose diffuse occlusive FSD

« Classification and clinical impact of restenosis after femoro-popliteal stenting »



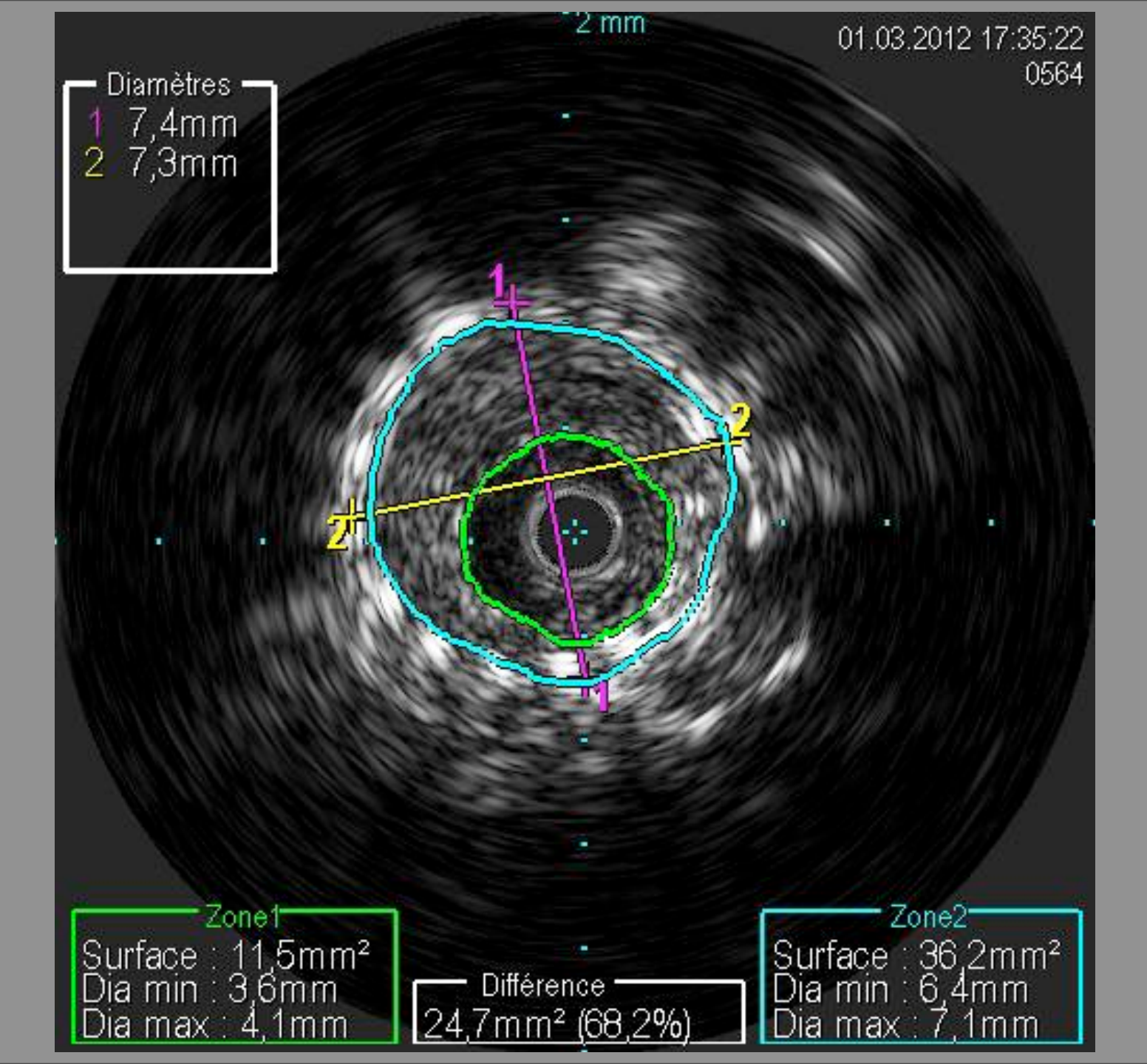


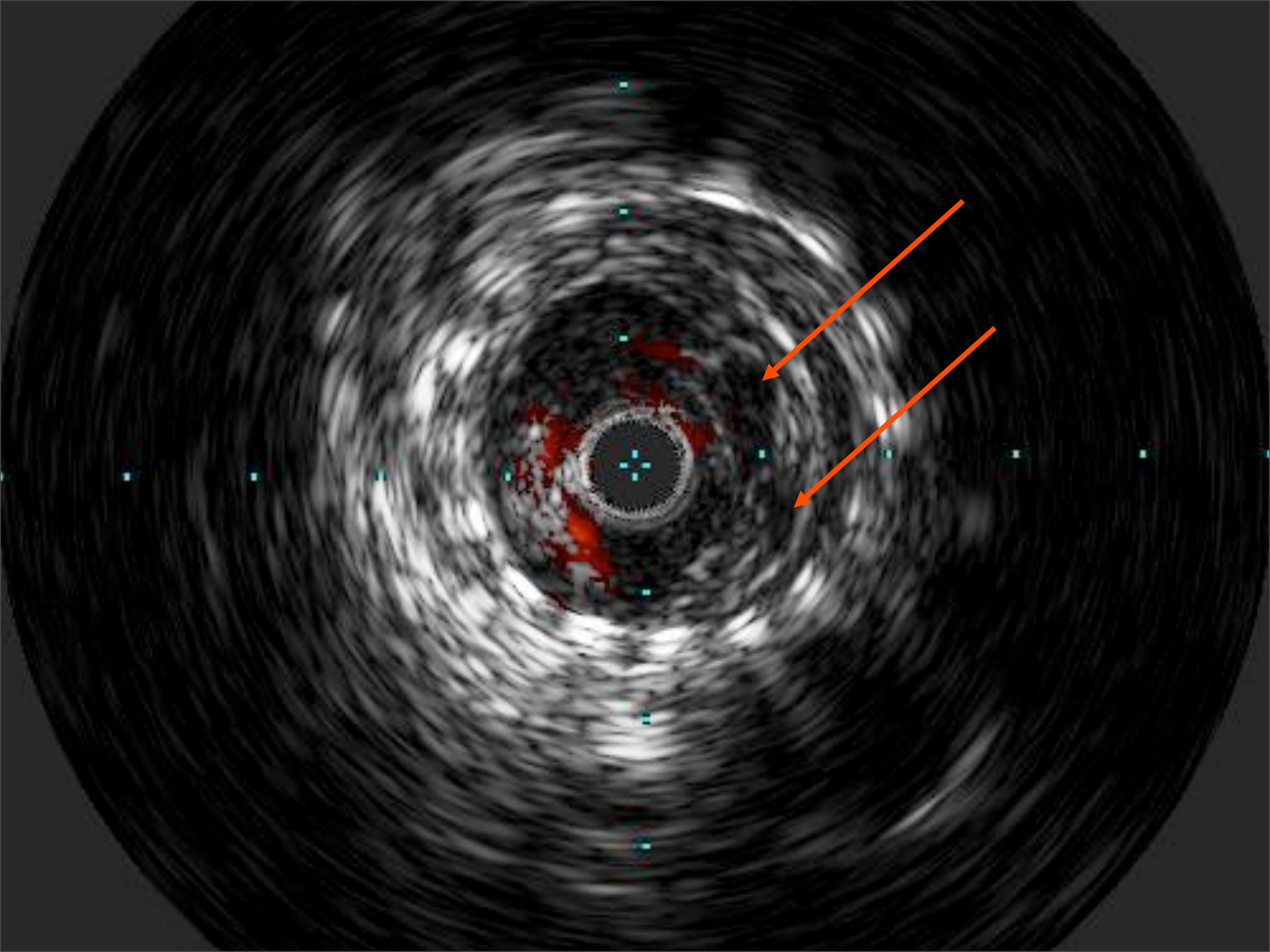


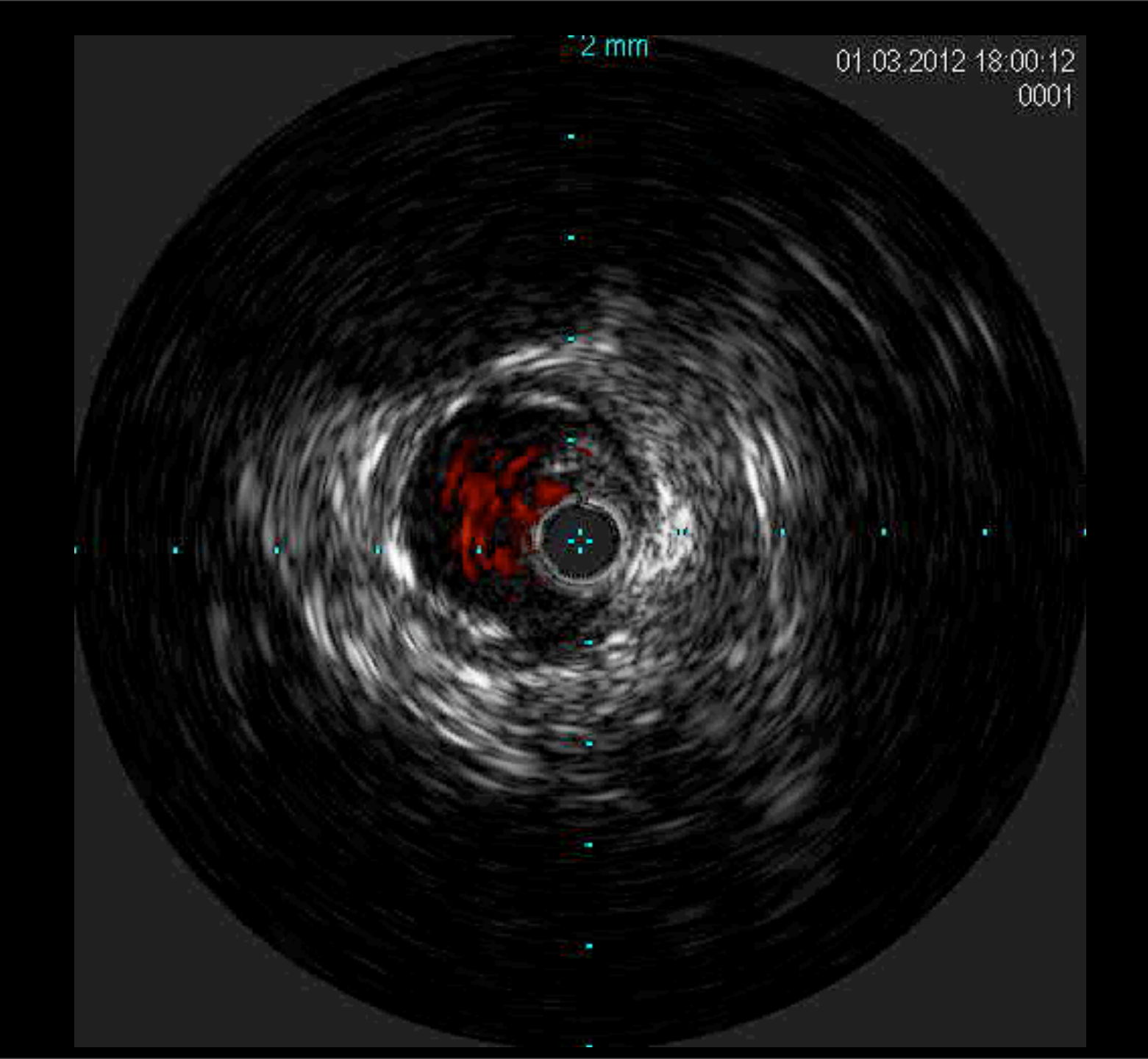


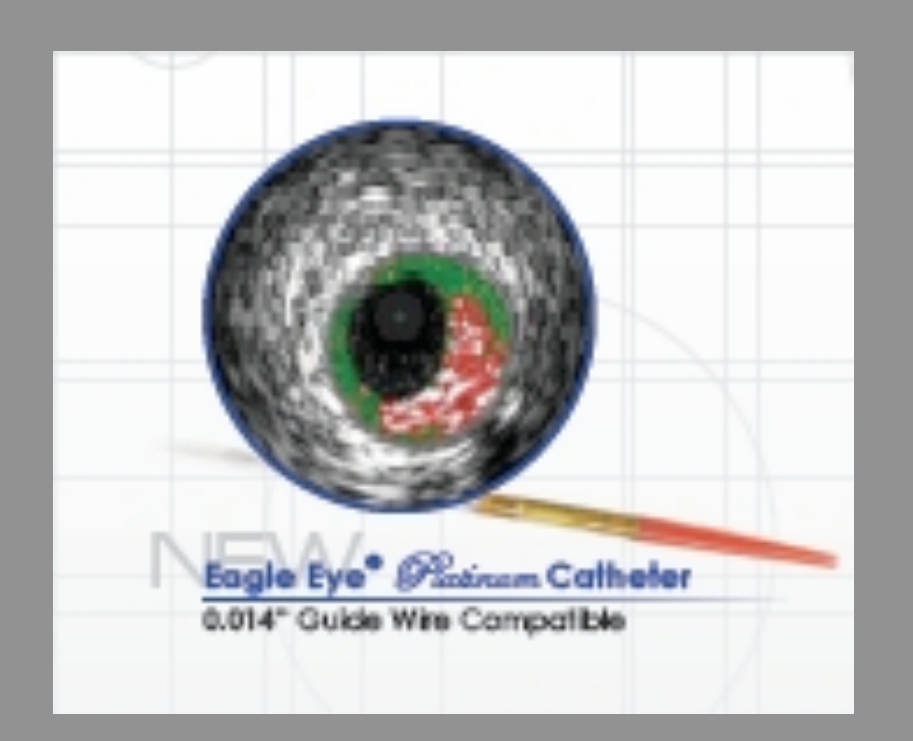
Cathéter d'athérectomie SILVERHAWK

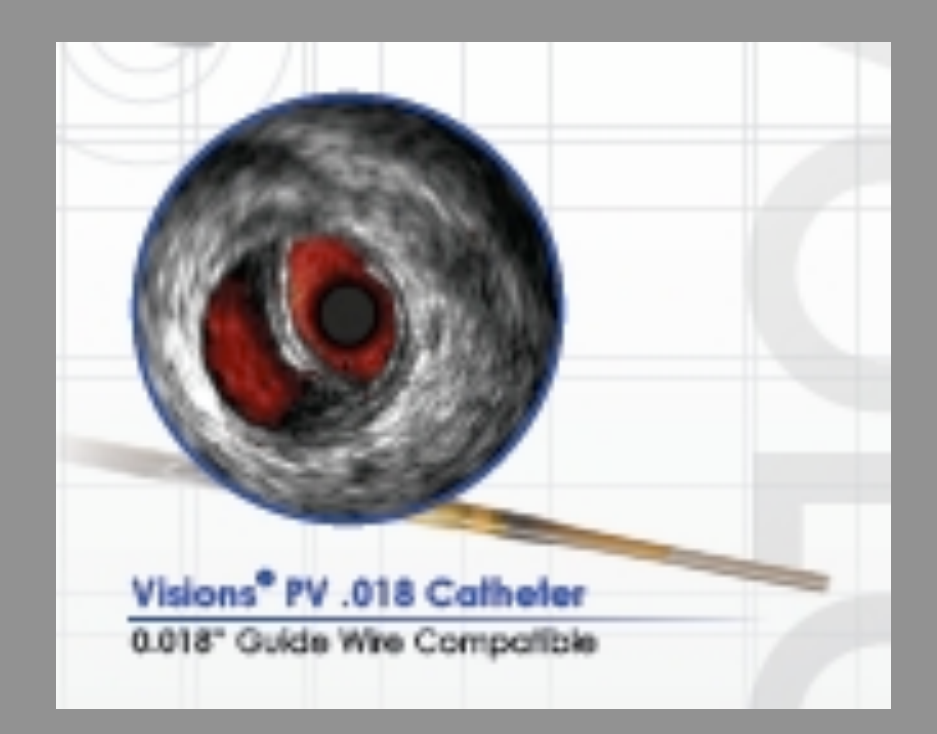


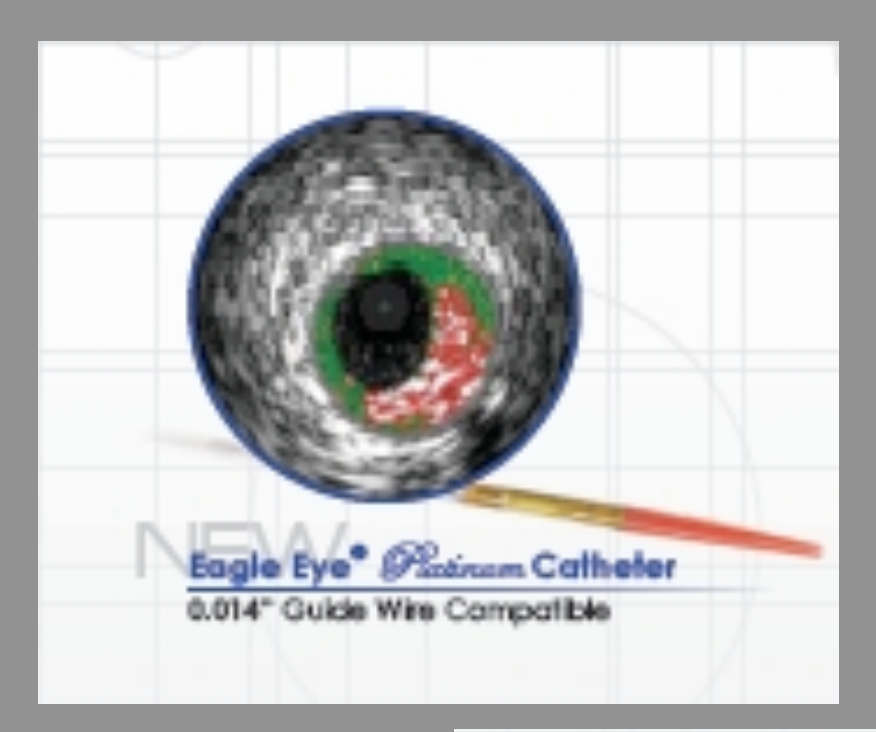


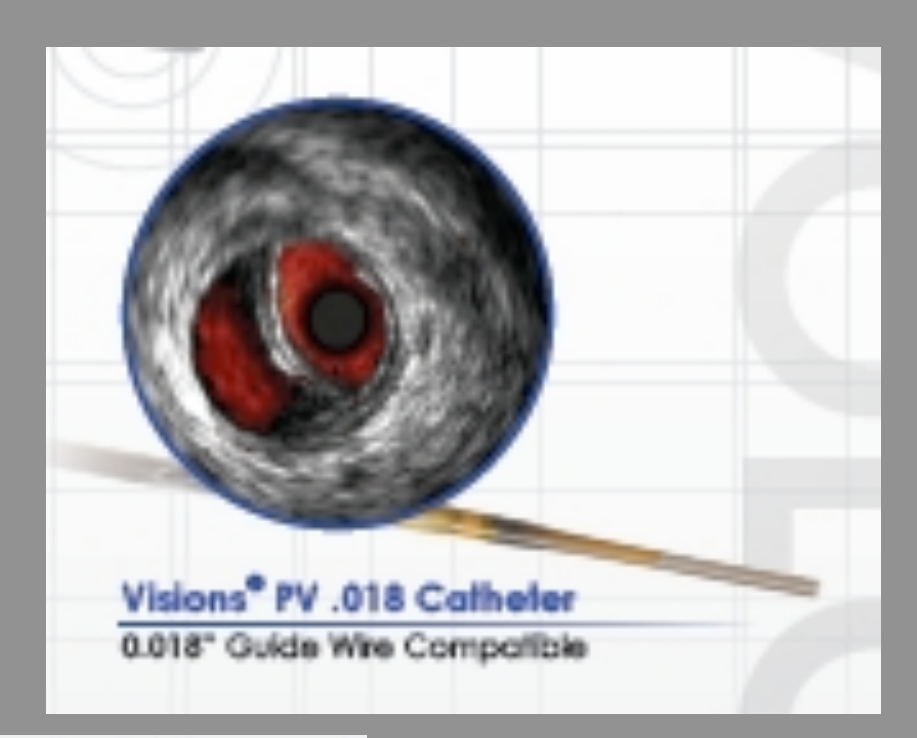














	EAGLE EYE Platinium	VISION PV .018	VISION PV 8.2
Grayscale IVUS	+	+	+
Chromaflow	+	+	
VH IVUS	+		
Fréquence	20 MHz	20 MHz	10 MHz
Diamètre max	20 mm	24 mm	60 mm
Longueur shaft	150 cm monorail	135 cm monorail	90 cm OTW
Guide wire (max)	.014	.018	.038
Introducteur	5 F	6 F	9 F
KT guide	5 F	6 F	-

AOMI et IVUS : quelles indications

- Diagnostique:
 - discordance clinique et échodoppler vs angiographie
- Thérapeutique
 - Sizing (diamètre/longueur)
 - Contrôle post stenting
 - lésion résiduelle
 - collatérales
 - Resténose intrastent : après ballon/athérectomie et avant de délivrer la drogue via le ballon actif)
 - Système de ré-entrée (recanalisation sous-intimale)
 - Etude des anastomoses prothétiques

Série JB/RhôneDurance: résultats préliminaires

- Série consécutives 100 procédures CTO-SFA 2010/2011
- Longueur moyenne de l'occlusion 200mm
- Succès angiographique 97%
 - échec de franchissement 0%
 - échec de ré-entrée 0% (9% de re-entry devices)
 - 1 échec d'entrée
 - 2 échecs de dilatation de l'espace sous-intimal
- 2 thromboses précoces < 1 mois
 - Dissection non couverte
 - Arrêt intempestif Plavix

Pourquoi IVUs

- Diagnostique
 - Sévérité sténose
 - Diamètre artère
 - Caractérisation lésion : thrombus, calcification,
 - Etude branches collatérales
 - Longueur lésion
- Thérapeutique
 - vraie/fausse lumière
 - Lésion résiduelle
 - Apposition stent
 - Athérectomie
- Contraste